

分割最適化 技法에 의한 트러스 構造物의 形狀最適化에 관한 研究

A Study on the Geometric Optimization of Truss Structures by Decomposition Method

金 成 完* · 李 全 遠**
Kim, Seong Wan · Lee, Gyu Won

Summary

Formulation of the geometric optimization for truss structures based on the elasticity theory turn out to be the nonlinear programming problem which has to deal with the cross-sectional area of the member and the coordinates of its nodes simultaneously.

A few techniques have been proposed and adopted for the analysis of this nonlinear programming problem for the time being.

These techniques, however, bear some limitations on truss shapes, loading conditions and design criteria for the practical application to real structures.

A generalized algorithm for the geometric optimization of the truss structures, which can eliminate the above mentioned limitations, is developed in this study.

The algorithm proposed utilizes the two-levels technique. In the first level which consists of two phases, the cross-sectional area of the truss member is optimized by transforming the nonlinear problem into SUMT, and solving SUMT utilizing the modified Newton Raphson method.

In the second level, which also consists of two phases the geometric shape is optimized utilizing the unidirectional search technique of the Powell method which make it possible to minimize only the objective function.

The algorithm proposed in this study is numerically tested for several truss structures with various shapes, loading conditions and design criteria, and compared with the results of the other algorithms to examine its applicability and stability. The numerical comparisons show that the two-levels algorithm proposed in this study is safely applicable to any design criteria, and the convergency rate is relatively fast and stable compared with other iteration methods for the geometric optimization of truss structures.

It was found for the result of the shape optimization in this study to be decreased greatly in the weight of truss structures in comparison with the shape optimization of the truss utilizing the algorithm proposed with the other area optimum method.

* • 忠南大學校 農科大學
** • 全北大學校 工科大學

1. 序 論

數學的計劃法에 의한構造物의 最適設計가 工學者들에게 많은 관심의 대상이 되어온 이래 지금까지大部分의 最適設計는 幾何學的形狀이 固定된構造物의 最適化에集中되어왔다.

그러나 幾何學的形狀을考慮한最適化는構造物의 重量, 體積, 經費를相當히減少시킬 수 있음을 알 수 있다. 따라서 形狀最適化가 절실히要請되고 있다. 그러나 形狀이 固定된最適化보다 形狀最適化는 設計變數 및 制約條件式이增加하므로써 最適化過程도複雜해질 뿐만 아니라 컴퓨터容量이 커야 하고, 計算時間도 더 많이 所要된다.

이러한 어려움을 극복하기 위하여 많은研究를 해온 바 Dantzig-wolfe¹⁾는 最適化問題를 分割처리함으로써 設計變數 및 制約條件式을縮小할 수 있는原理를 소개하였다. 그러나 이 方法은線形計劃問題에만適用할 수 있는 局限된 方法이었다. Vander plants²⁾立體트러스를 two-phases斷面과 形狀으로 分離하여分割最適化함으로써分割되지 않은最適化에서所要된時間의 절반 정도만所要됨을 발견하였다.

Uri Kirsch³⁾는連續보 및 交叉보(beam grid)의最適化問題를 two-phases最適化問題로分割하여各phase에必要한設計變數 및 制約條件式만을考慮한最適化를試圖함으로써 大形構造物의最適化도 가능케 한 바 있다.

本研究에서는 文獻²⁾의理論을 트러스構造의形狀最適化에適用코자 形狀이 固定된 트러스를two-phases로分割하여各phase에必要한設計變數 및 制約條件式만을考慮하여斷面最適化를遂行하여 이 첫段階을 level-1이라고 한다. level-2에서는 形狀의最適化를 위해節點座標를設計變數로하여形狀最適化를遂行함으로써 보다效率적으로大型트러스構造物의形狀最適化를하고자 한다.

本研究에서適用된最適化過程은文獻³⁾의理論과Vander plants의理論²⁾을結合한 three-phases 및 four-phases의形狀最適화라 할 수 있겠다.

따라서本研究에서는大型트러스構造物의形狀最適化를 위하여three-phases最適化技法 및 four-phases最適化技法을利用하여트러스의形態, 載荷條件, 制約條件 등의制限을받지않는efficiency의大型트러스構造物의形狀最適化 알고리

즘을提示하는데 그目的을 두고 있다.

2. 關係文獻의 考察

構造物의最適設計에 많은研究者들이關心을 가져온 이래 수많은研究結果가發表되었다.

本研究와關連된形狀最適化에關한內容을要約하면 다음과 같다.

1962年 Schmit, L. A.와 Kicher, T. P.⁴⁾는簡單한3部材트러스構造物의最適形狀 및最適材料를 Gradient Method로誘導하였다.

1964年 Dorn, Gomory와 Greenberg⁵⁾는線形計劃法을適用하여 ground structure로부터 reduced optimal structure를誘導하였다.

1969年 Dobbs와 Felton⁶⁾은文獻⁵⁾의理論을擴張하여多載荷條件, 應用 및 挫挫을實際制約條件으로包含한最適化型式에Gradient Method의技法을適用하여文獻⁵⁾의研究結果와의差異點에 대하여考察하였다.

以上의研究中 Schmit의理論을除外하고文獻^{5,6)}은空間上에節點位置를設定하고이節點에部材를結連한트러스構造物을最適化하여部材力이零인部材를除去하는方法이므로엄밀한意味의形狀最適化라고는할수없다.

1972, 1973年 Pedersen^{7,8)}은移動界限(move-limit)를갖는Gradient Method에依해平面 및立體트러스의形狀最適化를誘導하였다.

1972年Vander plaats와 Moses⁹⁾는設計空間을2部分으로分割하여斷面最適화와形狀最適化를分離하는方法이었다.

이研究는最初의two-phases의形狀最適化로서phase-one에서는stress-ratio 및 Zoutendijk의feasible direction method를修正한 알고리즘으로斷面最適化한後, phase-two에서steepest descent method의技法에 의해形狀最適化問題를나루었다.

이와같이形狀最適化를試圖함으로써最適化에必要的計算時間を절반정도reduces할수있음을보여준바있으며,本方法은efficiency의最適化技法으로思われる.

1975年 Spillers¹⁰⁾는Friedland¹¹⁾의研究와똑같은最適化모델에Kuhn Tucker條件을利用한트러스構造物의形狀最適化理論을發表하였으나이研究結果로는多載荷條件, 挫挫應力 및變位制約을考慮한形狀最適化를할수없기때

문에 1980年 上記의 研究를 擴張하여 AISC示方書의 規定을 만족하는 最適解를 誘導하였다.¹²⁾

1980年 Saka¹³⁾는 逐次線形計劃法(SLP)의 適用으로 最適形狀을 誘導하였다.

1981年 Kanji Imai 및 Schmit, L. A.¹⁴⁾는 近似法과 數學的 計劃法을 調和한 乘數法(multiplier method or primal and dual method)에 의해서 斷面 및 形狀을 同時に 最適화하였다.

1983年 Topping B. H.¹⁵⁾는 80年 初 까지의 形狀最適化 現況에 對한 紹介를 하였다.

1983年 U. Kirsch와 G. Toledoano¹⁶⁾는 形狀의 變化가 斷面의 變化보다도 構造應答에 큰 影響을 주므로 形狀이 變화에 따라 미치는 影響을 近似化하여 形狀을 最適화할 수 있는 技法을 提示하였으며 이 技法은 大型構造物의 形狀最適設計에 效率의인 最適化技法으로 思料된다.

文獻調査結果 1975年 以前의 大部分 研究는 數學的 計劃法에 依한 最適化이었다.

數學的 計劃法은 數學的 複雜性 및 應用分野에 制限을 받고 構造物의 規模가 커짐에 따라 設計變數 및 制約條件式의 數가 增加하고 最適化過程中 構造解析의 時間이 상당히 必要하게 되었다.

이러한 어려운 점을 극복하기 위해 1975年 以後에는 近似最適化技法^{17), 18)} 및 分割最適化^{19, 20)}를 試圖하여 大型構造物의 最適設計에 關해서 많은 研究가 수행되고 있으며 特히 分割最適設計는 設計空間을 分割하여 設計空間의 次元을 縮小시킬 수 있도록 하는 效率의인 方法이다.

또한 設計變數間의 關係를 附與(design variable linking), 즉 同一設計變數組 形成 및 構造物의 對稱性을 導入하여 分割된 設計空間의 次元을 줄였으며 最適化過程中 Critical한 制約條件式의 數도 縮小하였다.

文獻¹⁾에서는 固定된 경우의 近似概念과 數學的 計劃法을 調和한 最適化技法의 使用으로 最適化의 率效을 높였다.

文獻¹⁹⁾에서도 形狀이 固定된 경우의 適合方程式을 近似化하여 빨리 最適解에 收斂시키고 있다.

以上의 研究結果로부터 斷面과 形狀을 同時に 最適화하는 根本의으로 서로 다른 性質을 갖는 두 種類의 變數로 設計空間을 形成한다.

이러한 變數들이 組合되면 收斂方法이 달라 最適解를 구하기 곤란하다. 따라서 本 研究에서는 斷面의 最適화와 形狀의 最適화를 獨立의으로 違行할 수 있도록 two-level 最適化를 試圖하는 한

편 level 1에서는 分割最適化로 設計變數 및 制約條件式의 數를 減少하여 大型構造物의 形狀最適化에 寄與코자 한다.

3. 分割最適化 技法에 의한 形狀最適化 問題形式

本 研究에서는 트러스 規模에 制約를 받지않고 形狀最適化를 위하여 three phases 및 four phases의 Multiple-phase로 分割하는 Multi-phases 分割最適化技法을 試圖하였으며 이 方法을 要約하면 다음과 같다.

① Three phases의 形狀最適化

Three phases에 의한 트러스 構造物의 最適形狀을 얻기위한一般的인 最適化 問題形式은 다음과 같다.

$$\begin{aligned} \text{Minimize;} & W = W(\vec{X}, \vec{Y}, \vec{Z}) \\ \text{Subject to;} & M_i(\vec{X}, \vec{Y}, \vec{Z}) = 0 \\ & i = 1, \dots, K \\ & G_i(\vec{X}, \vec{Y}, \vec{Z}) \geq 0 \quad \dots\dots\dots (3-1) \\ & j = 1, \dots, L \\ & \vec{X}^L \leq \vec{X} \leq \vec{X}^U, \vec{Y}^L \leq \vec{Y} \leq \vec{Y}^U, \vec{Z}^L \leq \vec{Z} \leq \vec{Z}^U \end{aligned}$$

여기서,

\vec{X}, \vec{Y} ; 斷面積의 設計變數

\vec{Z} ; 節點座標의 設計變數

\vec{X}^L, \vec{Y}^L ; 斷面積 設計變數의 下限值

\vec{X}^U, \vec{Y}^U ; 斷面積 設計變數의 上限值

\vec{Z}^L ; 節點 座標 벡터의 下限值

\vec{Z}^U ; 節點 座標 벡터의 上限值

本研究에서는 트러스 構造物의 規模에 관계없이 용이하게 形狀最適設計를 위해 Level 1에서는 Two-phases로 分割하여 斷面을 最適화하고 Level 2에서는 Two-phases로 分割하여 形狀을 最適화하는 分割最適化 技法을 使用한다.

이경우 最適化 形式은 다음과 같다.

가. Level 1

形狀이 固定된 트러스를 Two-phases로 分割하여 最適화를 違行하며, 設計變數는 斷面積이 된다. 이러한 分割最適設計 計劃問題의 最適化形式은 다음과 같다.

ㄱ) Phase 1

$$\text{Minimize ; } W = W(\vec{X}, \vec{Y}_o, \vec{Z}_o)$$

$$\text{Subject to;} H_i(\vec{X}, \vec{Y}_o, \vec{Z}_o) = 0$$

$$G_i(\vec{X}_o, \vec{Y}_o, \vec{Z}_o) \geq 0 \dots\dots (3-2)$$

여기서, \vec{X}_o ; phase 1에서의 設計變數
 \vec{Y}_o ; phase 1에서는 常數로 되는 設
 計變數
 \vec{Z}_o ; phase 1에서는 常數로 되는 設
 計變數

↪ phase 2

$$\begin{aligned} \text{Minimize} & ; W = W(\vec{X}_o, \vec{Y}_o, \vec{Z}_o) \\ \text{Subject to} & ; H_i(\vec{X}_o, \vec{Y}_o, \vec{Z}_o) = 0 \\ & G_i(\vec{X}_o, \vec{Y}_o, \vec{Z}_o) \geq 0 \dots(3-3) \end{aligned}$$

여기서

\vec{X}_o ; phase 2에서 常數로 되는 設計變數
 \vec{Y}_o ; phase 2에서의 設計變數
 \vec{Z}_o ; phase 2에서는 常數로 되는 設計變數

나. Level 2

$$\begin{aligned} \text{Minimize} & ; W = W(\vec{X}_o, \vec{Y}_o, \vec{Z}) \\ \text{Subject to} & ; \vec{Z}^L \leq \vec{Z} \leq \vec{Z}^U \end{aligned}$$

여기서

\vec{X}_o ; Level 2에서는 常數로 되는 設計變數
 \vec{Y}_o ; Level 2에서는 常數로 되는 設計變數
 \vec{Z} ; Level에서의 設計變數

② Four-phases에 依한 트러스 構造物의 最適形狀을 얻기위한 最適化問題形式은 다음과 같다.

$$\begin{aligned} \text{Minimize} & ; V = V(\vec{W}, \vec{X}, \vec{Y}, \vec{Z}) \\ \text{Subject to} & ; H_i(\vec{W}, \vec{X}, \vec{Y}, \vec{Z}) = 0 \\ & G_i(\vec{W}, \vec{X}, \vec{Y}, \vec{Z}) = 0 \end{aligned}$$

$$\vec{W}^L \leq \vec{W} \leq \vec{W}^U$$

$$\vec{X}^L \leq \vec{X} \leq \vec{X}^U$$

$$\vec{Y}^L \leq \vec{Y} \leq \vec{Y}^U$$

$$\vec{Z}^L \leq \vec{Z} \leq \vec{Z}^U$$

$$i=1, \dots, K, j=1, \dots, L$$

여기서

\vec{W} , \vec{X} ; 部材斷面벡터

\vec{Y} , \vec{Z} ; 節點座標벡터

\vec{W}^L , \vec{X}^L ; 部材斷面벡터의 下限值

\vec{W}^U , \vec{X}^U ; 部材斷面벡터의 上限值

\vec{Z}^L ; 節點座標벡터의 下限值

\vec{Z}^U ; 節點座標벡터의 上限值

本研究에서는 트러스 構造物의 形狀最適化를 용이하게 하기위해 分割 最適化 技法을 使用한다.

이 경우의 最適化問題 型式은 다음과 같다.

가. Level 1

形狀이 固定된 트러스의 Two-phases 最適化이므로 設計變數는 斷面積이 되며 트러스 構造物을 2部分의 最適化 對象 構造物로 分割한다. 이려한 最適設計計劃問題의 最適化 形式은 다음과 같다.

ㄱ) Phase 1

$$\begin{aligned} \text{Minimize} & ; V = V(\vec{W}, \vec{X}_o, \vec{Y}_o, \vec{Z}_o) \\ \text{Subject to} & ; H_i(\vec{W}, \vec{X}_o, \vec{Y}_o, \vec{Z}_o) = 0 \\ & G_i(\vec{W}, \vec{X}_o, \vec{Y}_o, \vec{Z}_o) \geq 0 \end{aligned}$$

여기서 \vec{W} ; paase 1에서의 設計變數

\vec{X}_o ; phase 1에서의 常數로 되는 設計變數

\vec{Y}_o ; phase 1에서의 常數로 되는 設計變數

\vec{Z}_o ; phase 1에서의 常數로 되는 設計變數

ㄴ) Phase 2

$$\begin{aligned} \text{Minimize} & ; V = V(\vec{W}_o, \vec{X}, \vec{Y}_o, \vec{Z}_o) \\ \text{Subject to} & ; H_i(\vec{W}_o, \vec{X}, \vec{Y}_o, \vec{Z}_o) = 0 \\ & G_i(\vec{W}_o, \vec{X}, \vec{Y}_o, \vec{Z}_o) \geq 0 \end{aligned}$$

여기서,

\vec{W}_o ; phase 1에서 常數로 되는 設計變數

\vec{X} ; phase 2에서의 設計變數

\vec{Y}_o ; phase 1에서 常數로 되는 設計變數

\vec{Z}_o ; phase 1에서 常數로 되는 設計變數

나. Level 2

ㄱ) Phase 3

$$\begin{aligned} \text{Minimize} & ; V = V(\vec{W}_o, \vec{X}_o, \vec{Y}, \vec{Z}_o) \\ \text{Subject to} & ; \vec{Y}^L \leq \vec{Y} \leq \vec{Y}^U \end{aligned}$$

여기서,

\vec{W}_o ; phase 3에서 常數로 되는 設計變數

\vec{X}_o ; phase 3에서 常數로 되는 設計變數

\vec{Z}_o ; phase 3에서 常數로 되는 設計變數

\vec{Y}^L ; phase 3에서 設計變數의 下限值

\vec{Y}^U ; phase 3에서 設計變數의 上限值

ㄴ) Phase 4

分割最適化 技法에 의한 트러스 構造物의 形狀最適화에 관한 研究

$$\text{Minimize} ; V = V(\vec{W}_o, \vec{X}_o, \vec{Y}_o, \vec{Z})$$

$$\text{Subject to} ; \vec{Z}^l \leq \vec{Z} \leq \vec{Z}^u$$

여기서,

\vec{W}_o ; phase 4에서 常數로 되는 設計變數

\vec{X}_o ; phase 4에서 常數로 되는 設計變數

\vec{Y}_o ; phase 4에서 常數로 되는 設計變數

\vec{Z}^l ; phase 4에서 設計變數의 下限值

\vec{Z}^u ; phase 4에서 設計變數의 上限值

$$[D_1] = \begin{bmatrix} \frac{1}{A_1} & \dots & 0 \\ \vdots & \ddots & \vdots \\ 0 & \dots & \frac{1}{A_k} \end{bmatrix} (k \times k)$$

$A_i = i$ 部材의 斷面積

$$[T_{11}] = [(T_{11}), (T_{12})]$$

$$[T_{11}] = \begin{bmatrix} 1 & \dots & 0 \\ \vdots & \ddots & \vdots \\ 0 & \dots & 1 \end{bmatrix} (k \times k)$$

$$[T_{12}] = \begin{bmatrix} 0 & \dots & 0 \\ \vdots & \ddots & \vdots \\ 0 & \dots & 0 \end{bmatrix} (k \times (m-k))$$

$$[K] = \begin{bmatrix} K_1 & \dots & 0 \\ \vdots & \ddots & \vdots \\ 0 & \dots & K_m \end{bmatrix} (m \times m)$$

$$K_i = \frac{A_i E_i}{L_i}$$

$L_i = i$ 番째 部材의 길이

$E_i = i$ 番째 部材의 弹性係數

$(\beta)^T = (n \times m)$ 相連結關係에트릭스

$n =$ 自由度數

$T =$ 에트릭스의 轉置

$\{A\} = (n \times 1)$ 的 節點荷重에트릭스

② Phase 2

$$\{\sigma_{ca}\}$$

$$\leq [D_2] [T_2] [K] [\beta] ((\beta)^T [K] [\beta])^{-1} \{A\} \leq \{\sigma_{ta}\} \quad (4-4)$$

$$[D_2] = \begin{bmatrix} \frac{1}{A_1} & & \\ & \ddots & \\ & & \frac{1}{A_j} (j \times j) \end{bmatrix}$$

$$[T_2] = [(T_{21}), (T_{22})]$$

$$[T_{21}] = \begin{bmatrix} 0 & \cdots & 0 \\ \vdots & \ddots & \vdots \\ 0 & \cdots & 0 \end{bmatrix}_{\{j \times (m-j)\}}$$

$$\{\theta_2\} = (\theta_1, \dots, \theta_{s_2})^T$$

(2) 道路橋標準示方書의 挖掘應力制約條件式

① Phase 1

$$\{\sigma_{CB}\}$$

$$-(C_1) \quad [T_1] \quad [\bar{K}] \quad ((\beta)^T [\bar{K}] \quad [\beta]^{-1} \{A\}) \geq \{0\}$$

여기서, $\{\sigma_{CB}\} = (f_{1 \times 1})$ 의 示方書에서 規定하는
許容挫掘應力메트릭스

$$\sigma_{CBt} = a_t + b_t (L_t / e_t A_t \alpha)$$

a_i, b_i, e_i = 示方書에서 规定하는 係數

α = 文獻⁷⁾에서 주어지는 常數

4-3. 捉掘應力制約條件式

(1) Euler의 掘掘應力制約條件式

① Phase 1

$$\begin{aligned} C_1 & \subset \{\theta\} \\ -[D_1] \cdot [T_1] \cdot [\tilde{K}] \cdot [\beta] \cdot [(\beta)^T (\tilde{K}) (\beta)]^{-1} \{A\} \\ & \geq \{0\} \quad \dots \quad (4-5) \end{aligned}$$

여기서, $\{\sigma_B\} = (f_{1 \times 1})$ 의 挫掘應力메트릭스

$f_1 = \text{Phase 1 의 } \frac{\text{壓縮部材數}}{\text{總數}}$

$$[C_1] = \left[\begin{array}{cccc} \frac{1}{A_1} & & & 0 \\ \vdots & \ddots & & \\ 0 & & \ddots & \frac{1}{A_{ff}(j \times j)} \end{array} \right]$$

$$\{\theta_t\} = (\theta_1, \dots, \theta_t, \dots, \theta_s)^T$$

$$\theta_i = \frac{\pi^2 E \alpha_i A_i}{J_i^2}$$

$$\alpha_1 = 1.34$$

文獻⁷⁾ 參照

② Phase 2

$$[C_2] \subsetneq A_2$$

$$-\{D_1\} \{T_1\} \{\bar{K}\} \{\beta\} ((\beta)^T (\bar{K}) \{\beta\})^{-1} \{A\} \\ \geq \{0\} \dots \dots \dots \quad (4-6)$$

여기서, $\{\sigma_B\} = \{f_{2 \times 1}\}$ 의 振掘應力메트릭스

f_2 = Phase 2 의 壓縮部材數

$$[C_2] = \begin{bmatrix} 1 & & & & 0 \\ A_{11} & \ddots & & & \\ \vdots & & \ddots & & \\ & & & \ddots & 1 \\ 0 & & & & A_{22} \end{bmatrix}$$

$$= \begin{bmatrix} \frac{1}{E_1} & & & 0 \\ & \ddots & & \\ & & \frac{1}{E_n} & \\ 0 & & & \end{bmatrix} \quad (k \times k)$$

$$\text{여기서, } (A_1) = \frac{1}{A_1} \cdots \frac{1}{A_k} \quad (1 \times k)$$

$[E_i]$ = 各部材의 弹性係數메트릭 텐서

- 78 -

$$[L_1] = \begin{bmatrix} 1 & & & & 0 \\ L_1 & \ddots & & & \\ & & \ddots & & \\ & & & \ddots & 1 \\ 0 & & & & L_1 \end{bmatrix}_{(k \times k)}$$

$\{F_{\theta_i}^i\}$ = Phase 1에서 i番째 異位方向의 單位荷重으로 인한 $(1 \times k)$ 部材力ベクト릭스

(2) Phase 2

여기서, $\{q_2\} = (q_{21}, \dots, q_{2t}, \dots, q_{2\ell})^T$

$$q_{2t} = \{(A_1) [E_1] [L_1] [T_1]^T\} F^t \theta_t \} [T_1] \\ [K] [\beta] [(\beta)^T [K] [\beta]]^{-1} + \\ (A_2) [E_2] [L_2] [T_2]^T \{F^t \theta_t\} [T_2] [K] \\ [\beta] [(\beta)^T [K] [\beta]]^{-1} \} A \dots \dots \quad (4-11)$$

$$(\mathbf{A}_2) = \left(\frac{1}{A_1}, \dots, \frac{1}{A_t} \right) (1 \times j)$$

$$[E_z] = \begin{bmatrix} 1 & & & & 0 \\ E_1 & \ddots & & & \\ & & \ddots & & \\ & & & \ddots & 1 \\ 0 & & & & E_t \end{bmatrix} \quad (j \times j)$$

$$[L_2] = \begin{bmatrix} \frac{1}{L_1} & \dots & 0 \\ \vdots & \ddots & \vdots \\ 0 & \dots & \frac{1}{L_k} \end{bmatrix} (j \times j)$$

$\{F^t_{\theta_i}\}_{(1 \times t)} = \text{Phase 2} \text{에서 } i\text{ 번째 } \text{變位方向의 }$
 $\text{單位荷重으로 } \text{인한 } (1 \times j) \text{ 部材力메트릭스}$

4-5. 設計變數界限制約條件式

여기서, $\{X^L\}$ = 設計變數下限值矩阵

$\{X^U\}$ = 設計變數上限值矩阵

지금까지 誘導乳 應力制約條件式(4-3) 및 (4-4), 挖掘應力制約條件式(4-5) 및 (4-6), 變位制約條件式(4-9) 및 (4-10), 設計變數限界制約條件式(4-11), 및 目的函數를 多載荷條件式과 함께 綜合하면 다음과 같다.

① Phase 1

Minimize : $M_1(W) = \{W_L\}^T \{L_1\}$
 Subject to: $(\sigma_a) - [D_1] [T_1] [\tilde{K}] [\beta] ([\beta]^T$
 $[\tilde{K}] [\beta])^{-1} \{A\}^{NL} \geq \{0\}$
 $[D_1] \{\theta_1\} - [C_1] [T_1] [\beta] ([\beta]^T$
 $[\tilde{K}] [\beta])^{-1} \{A\}^{NL}$
 or $\{\sigma_{CB}\} - [C_1] [T_1] [\tilde{K}] [\beta] ([\beta]^T$
 $[\tilde{K}] [\beta])^{-1} \{A\}^{NL} \geq \{0\} \quad \dots (4-12)$
 $\{q^a\} - \{q\}^{NL} \geq \{0\}$
 $\{X\} - \{X^L\} \geq \{0\}$
 $\{X^U\} - \{X\} \geq \{0\}$

② Phase 2

Minimize: $M^2(W) = \{W_2\}^\top [L_2]$
 Subject to: $\{\sigma_{ab}\} - [D_2] [T_2] [\bar{K}] [\beta] ([\beta]^\top$
 $[\bar{K}] [\beta])^{-1} \{A\}^{NL} \geq \{0\}$
 $[D_2] [\theta_{21}] - [D_2] [T_2] [\bar{K}]$
 $[\beta] ([\beta]^\top [\beta])^{-1} \{A\}^{NL} \text{ or } \{\sigma_{CB}\}$
 $- [C_2] [T_2] [\bar{K}] [\beta] ([\beta]^\top$
 $[\beta])^{-1} \{A\}^{NL} \geq \{0\} \dots \dots \dots \quad (4-13)$
 $\{q^a\} - \{q\}^{NL} \geq \{0\}$
 $\{X\} - \{X^L\} \geq \{0\}$
 $\{X^U\} - \{X\} \geq \{0\}$

여기서, NL: 載荷條件數

5. SUMT法에 의한 斷面最適化

式(4-12) 및 (4-13)의 最適化問題를 SUMT 計劃問題로 變形하면 다음과 같은 interior penalty function을 얻는다.

5-1. Phase 1

$$\text{Minimize: } W_1(\vec{w}_1, \vec{k}) = \{w_1\} + R_j \left(\sum_{NL=1}^n \sum_{t=1}^k \right) G_{1t}^{NL} + \sum_{k=1}^n \left(\frac{1}{G_{1*}^{NL}} + \sum_{t=1}^n \frac{1}{G_{t*}^{NL}} \right) \dots \dots \dots (5-1)$$

여기서, R_j : j番째 反部에서의 Penalty Para-

meter $\sum_{l=1}^k G_{ll}^{NL}$, $\sum_{k=1}^{f_1} G_{2k}^{NL}$, $\sum_{l=1}^n G_{3l}^{NL}$ 을 벡터적

으로 $\{G_{v_1}\}_1$, $\{G_{v_2}\}_1$, $\{G_{v_3}\}_1$ 로 表現하면 다음과 같다.

$$\left\{ \begin{array}{l} \{G_{v_1}\}_1 \\ \{G_{v_2}\}_1 \end{array} \right\} = \left\{ \begin{array}{l} \{\sigma_d - [D_1][T_1][\tilde{K}][\beta]\} \\ ([\beta]^T[\tilde{K}][\beta])^{-1}[A]^{NL} \\ \{D_1\}[\theta_1] - [D_1][T_1][\tilde{K}] \\ [\beta][[\beta]^T[\tilde{K}][\beta])^{-1}[A]^{NL} \\ \{\sigma_{cB}\} - [D_1][T_1][\tilde{K}][\beta] \\ ([\beta]^T[\tilde{K}][\beta])^{-1}[A]^{NL} \\ \{a_d\} - \{a\}^{NL} \end{array} \right\} \quad \dots \dots \quad (5-2)$$

5-2. Phase 2

$$\text{Minimize: } W_2(\vec{w}_2, \vec{R}) = \{W_2\}^T \{L_2\} + R,$$

$$\left(\sum_{NL=1}^{NL} \sum_{i=1}^k \frac{1}{G_{1i}} + \sum_{k=1}^{r_2} \frac{1}{G_{2k}} + \sum_{i=1}^n \frac{1}{G_{3i}} \right) \quad (5-3)$$

$$\sum_{i=1}^k G_{1i}^{NL}, \sum_{i=1}^{r_2} G_{2i}^{NL} \text{ 을 벡터적으로 } \{G_{v_2}\}_2,$$

$\{G_{v_2}\}_2, \{G_{v_3}\}_2$ 로 表現하면 다음과 같다.

$$\left\{ \begin{array}{l} \{G_{v_2}\}_2 = \{\sigma_C\} - [D_2][T_2][K][\beta] \\ \{G_{v_3}\}_2 \text{ or } \left\{ \begin{array}{l} ([\beta]^T [\bar{K}] [\beta])^{-1} \{A\}^{NL} \\ [D^2] \{\theta^2\} - [D^2][T^2][\bar{K}] \\ (\beta) ([\beta]^T [\bar{K}])^{-1} \{A\}^{NL} \\ \{\sigma^{CB}\} - [D_2][T_2][\bar{K}][\beta] \\ ([\beta]^T [\bar{K}][\beta])^{-1} \{A\}^{NL} \\ \{q_d\} - \{q\}^{NL} \end{array} \right\} \end{array} \right\} \quad (5-4)$$

6. 最適化 알고리즘

Level 1의 two-phases에서 사용하는 SUMT法 및 Level 2의 Powell Method의 一方向探査法에 의해 目的函數만이 最小가 되도록 트러스 構造物의 形狀을 最適化하는 綜合의 알고리즘은 다음과 같이 요약할 수 있다.

Step 1 : 分割된 構造選擇

Step 2 : 斷面의 初期值 $\{X_0\}$ 附與

Step 3 : 斷面의 初期值 또는 反復試行中 얻은 斷面이 實行可能領域에 있는지를 檢查한다. 反復試行中 얻은 斷面이 實行可能領域에 있으면 다음 단계로 진행하나 그렇지 않으면 實行可能領域의 設計點으로 變換한다.

Step 4 : 다음의 設計點 $\{X^{r+1}\}$ 을 찾기 위한 Modified Newton-Raphson Method의 反復試行

$$\{X^{r+1}\} = \{X^r\} - \{\beta^r\}$$

로부터 收斂值를 求한다.

Step 5 : 앞 過程에서 Phase 1이 收斂하면 – Phase 2로 進行이 되나 그렇지 않으면 Step 4로 되돌아 간다.

Step 6 : 앞 過程의 收斂限界值를 代入한 目的函數만 가지고 Powell Method의 一方向探査法에 의해 目的函數만이 最小가 되도록 座標를 수정해 나간다. 目的函數값이 收斂하거나 許用反復回數에 도달하면 정지하나 그렇지 않

으면 Step 2로 되돌아 간다. 이 때에는 $K=1$ 로 하여 反復試行을 시작함.

이상의 過程에 관한 flow-chart는 Fig. 6-1과 같다.

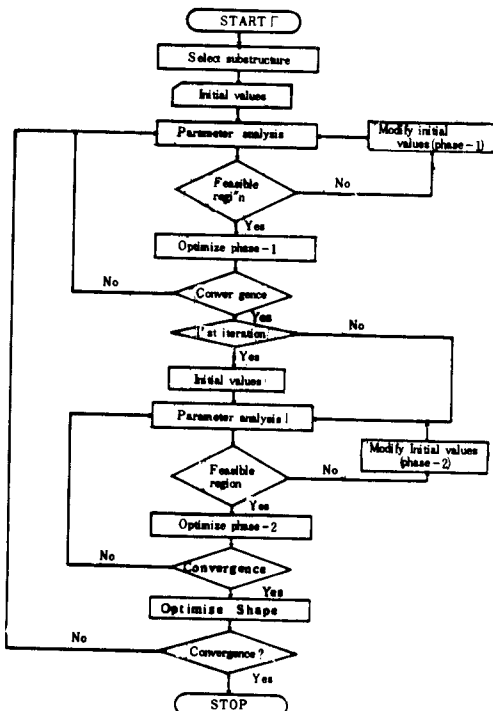


Fig. 6-1. 形狀最適化 flow chart

7. 數値例 및 結果分析

7-1. 本研究結果와 他研究結果와의 比較

本研究에서 提案된 알고리즘의 收斂性을 分析하기 위하여 이미 發表된 트러스의 形狀最適化 알고리즘에서 比較的重要하다고 볼 수 있는 文獻⁹의 Two-phases 技法 即, 11部材 트러스에 對하여 phase 1에서는 stress ratio와 phase 2에서는 Steepest Descent Method를 使用하여 트러스의 形狀最適化한 研究의 結果, 文獻¹⁴⁾ 即, 近似技法을 利用하여 18部材 트러스의 形狀最適化한 研究의 結果 및 文獻²¹⁾의 Two-phases技法 即, phase 1에서는 Modified-Raphson, phase 2에서는 Rosenbrock Method를 利用하여 7部材 트러스의 形狀最適化한 研究의 結果를 比較한다.

文獻⁹⁾ 및 文獻²¹⁾에서 適用한 Fig. 7-1(a)의 11

分割最適化 技法에 의한 트러스 構造物의 形狀最適화에 관한 研究

Table- 7-1. 11部材 트러스(第1型)에 대한 設計條件

| 載荷條件 | 載荷條件의 種類 | 節點 | 11部材 트러스(第1型) |
|---------------------------|-------------|----|---|
| | 單一載荷條件(16) | 4 | -2×10^4 |
| 制約條件 | 應力制約(Psi) | | $-2 \times 10^4 \leq \sigma_a \leq 2 \times 10^4$ |
| | 挫掘應力制約(Psi) | | - |
| | 變位制約(in) | | - |
| 彈性係數(Psi) | | | 10^7 |
| 單位重量(1b/in ³) | | | 0.1 |

Table- 7-2. 文獻⁹⁾ 및 文獻²¹⁾의 構造模型의 適用 알고리즘

| 構造形態 | 文獻 ¹⁸⁾ 研究 | | 文獻 ²¹⁾ 研究 | | 本研究 | | | |
|-------------|----------------------|-----------|----------------------|-------------|----------------|---------|---------|---------|
| | Phase 1 | Phase 2 | Phase 1 | Phase 2 | Level 1 | | Level 2 | |
| | Stress-ratio | Steep-est | Modifi-ed | Rosen-brock | Phase 1 | Phase 2 | Phase 1 | Phase 2 |
| 11部材 트러스 | Feasible | Descent | Newton Raphson | | Phase 1 | Phase 2 | Phase 1 | Phase 2 |
| | | | | | Modified | | Powell | |
| | direction | | | | Newton Raphson | | | |

Table- 7-3. 文獻⁹⁾, 文獻²¹⁾ 및 本研究의 結果

| 制約條件 | 反復回數 | 文獻 a의 研究結果 | 文獻 ²¹⁾ 의 研究 | | | 本研究의 結果 | |
|--------------------------|------------|---------------|------------------------|------------------|----------|---------|--------|
| | | | 3 phases 의 技法 | 4 phases 의 技法 | | | |
| 單一載荷 條件 許容應力 制約 | 初期值 | 79.7120 | 79.7128 | 140.4067 | 237.2723 | 140.41 | 140.41 |
| | 形狀이 固定된 경우 | 80.0 | 80.0481 | 80.0480 | 80.0480 | 81.06 | 81.06 |
| | 1 | | 65.3767 | 65.3767 | 65.3767 | 72.49 | 68.93 |
| | 2 | 62.5 | 65.3767 | 65.3767 | 65.3767 | 67.43 | 65.72 |
| | 3 | | | | | 64.89 | 63.96 |
| | 4 | | | | | 63.37 | 62.86 |
| | 5 | | | | | 62.41 | 62.12 |
| | 6 | | | | | 61.77 | |

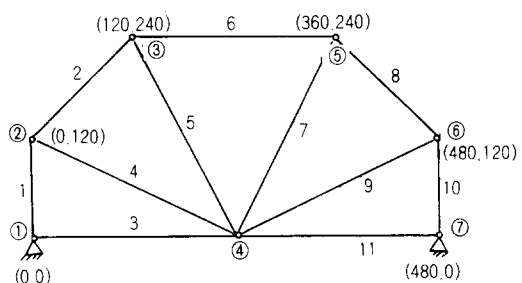
部材 트러스의 設計條件은 Table-7-1에適用 알고리즘은 Table-7-2와 같고 適用 構造에 對한 文獻⁹⁾ 및 文獻²¹⁾의 研究와 本研究의 比較는 Table-7-3에 本研究의 3 phase 技法에 의한 最適解는 Table-7-4에 收錄되어 있고 그 結果를 표시하면 Fig. 7-1(b), Fig. 7-2와 같으며 文獻⁹⁾ 및 文獻²¹⁾의 結果를 圖示하면 Fig. 7-3과 같다.

7-2 文獻²¹⁾에서 適用한 Fig. 7-4(a)의 7部材 트러스의 設計條件은 Table-7-5, 適用 알고리즘은 Table-7-6과 같고 適用 構造에 對한 文獻²¹⁾의 研究와 本研究의 比較는 Table-7-7에, 本研究의 3phases 技法에 依한 最適解는 Table-7-8에 收斂되어 있으며 그 結果를 圖示하면 Fig. 7-4(b) 및

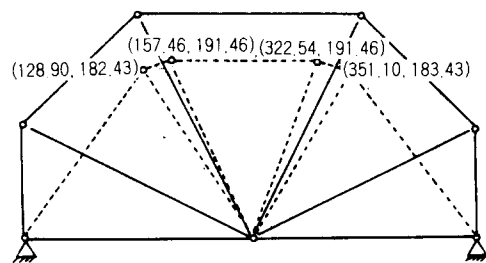
Fig. 7-5와 같고 本研究의 4phases 技法에 依한 最適解는 Table-7-9에 收錄되어 있고 그 結果를 圖示하면 Fig. 7-6 및 Fig. 7-7과 같으며 文獻²¹⁾의 結果를 圖示하면 Fig. 7-8과 같다.

7-3 文獻¹⁴⁾에서 適用한 Fig. 7-9(a)의 18部材 트러스의 設計條件은 Table-7-10, 適用 알고리즘은 Table-7-11과 같고 適用 構造에 對한 文獻¹⁴⁾의 研究와 本研究의 比較는 Table-7-12에, 本研究의 3phases 技法에 依한 最適解는 Table-7-13에 收錄되어 있으며 그 結果를 圖示하면 Fig. 7-9(b) 및 Fig. 7-10과 같으며 文獻¹⁴⁾의 結果를 圖示하면 Fig. 7-11과 같다.

Table-7-4. 本研究의 3phases 알고리즘에 의한 11부材 트러스의 계산결과



(a) 文獻⁹⁾의 構造模型



(b) 本研究의 最適形狀

Fig. 7-1. 文獻^{9)의} 構造模型 및 本研究의 最適形狀

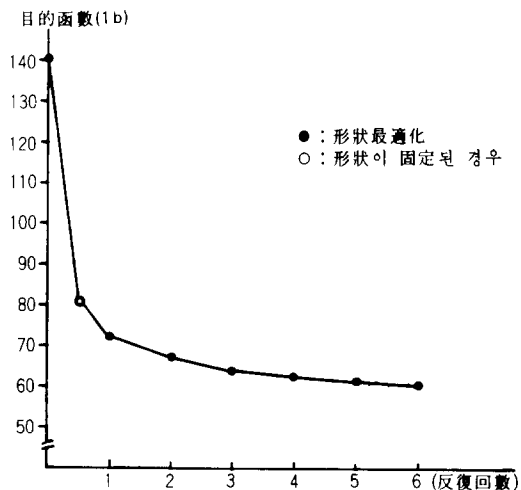
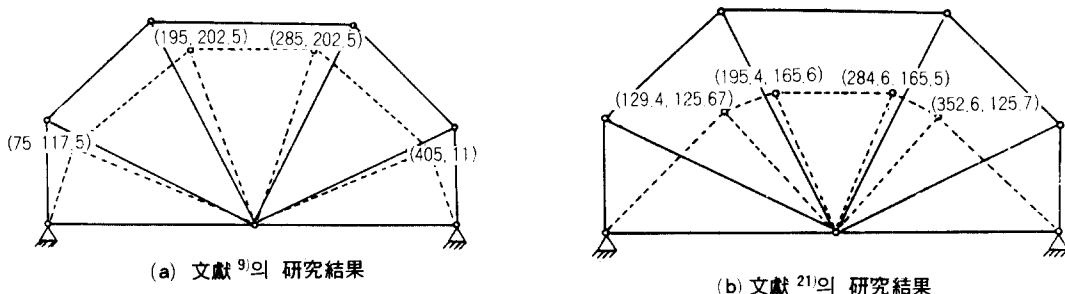


Fig. 7-2. 反復回數에 따른 函數

7-4. 23部材 트러스

形狀最適화를 위해 본研究의 3phase 및 4phase 알고리즘이適用될 23部材트러스(Fig.7-12(a))의載荷條件 및制約條件은 Table-7-14, 3phase 알고리즘을適用할 경우의反復回數에對한目的函數


 Fig. 7-3. 文獻⁹⁾, 文獻²¹⁾의 研究結果

值 및 反復回數에 따른 形狀은 Table-7-15에 나타냈으며 反復回數에 對한 目的函數值을 圖示하면 Fig. 7-13과 같고 最適形狀은 Fig. 7-12(b)와 같다.

또한 4phase 알고리즘을 適用했을 경우 反復回

數에 對한 目的函數值 및 反復回數에 따른 形狀은 Table-7-16에 나타냈으며 反復回數에 對한 目的函數值을 圖示하면 Fig. 7-14와 같고 最適形狀은 Fig. 7-15와 같다.

Table-7-5. 7 部材 트러스의 載荷條件 및 制約條件別 分類

| | 載荷條件의 分類 | 節點 | case 1 | case 2 | case 3 | case 4 |
|------------------------------|-----------------------------|----|---------------------------------|------------------|---------------------------------|---------------------|
| 載荷條件 | 第1 載荷條件(kg) | 3 | -7×10^5 | -7×10^5 | -7×10^5 | -7×10^5 |
| | 第2 載荷條件(kg) | 4 | -7×10^5 | | | -5×10^5 |
| | | 2 | -5×10^5 | | | -5×10^5 |
| 制約條件 | 應力制約(kg / cm ²) | | $-2000 \leq \sigma_a \leq 2000$ | | $-1400 \leq \sigma_a \leq 1400$ | |
| | 挫掘應力制約(kg/cm ²) | | | | | 鋼道路橋示方書 |
| | 變位制約(cm) | | $\delta_a \leq 1.4$ | | | $\delta_a \leq 1.4$ |
| 彈性係數 (kg / cm ³) | | | 2.1×10^6 | | | |

本研究에 서 挫掘應力制約는 SS41材種을 使用하였음

 Table-7-6. 文獻²¹⁾ 및 本研究의 構造模型에 適用 알고리즘

| 構造形態 7 部材 트러스 | 文獻 ²¹⁾ 의 研究 | | | 本研究 | | | |
|------------------|---------------------------------|------------|---------------------------------|---------|---------|---------|---------|
| | Phase 1 | | Phase 2 | Level 1 | | Level 2 | |
| | Modified Newton Ra- phson | Rosenbrock | | Phase 1 | Phase 2 | Phase 3 | Phase 4 |
| | | | Modified Newton Raph- son | | | Powell | |

 Table-7-7. 文獻²¹⁾ 및 本研究의 結果

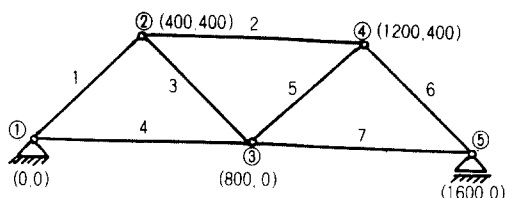
| 制約條件 | 反復回數 | 文獻 ²¹⁾ 의 研究結果 | 本研究의 結果 | |
|--------|------------|--------------------------|--------------|--------------|
| | | | 3phases 技法 | 4phases 技法 |
| 單一載荷條件 | 初期值 | 3,730,193.00 | 3,730,193.00 | 3,730,193.00 |
| | 形狀의 固定된 경우 | 1,359,999.25 | 1,359,999.28 | 1,359,999.88 |
| 許容應力條件 | 1 | 1,153,083 | 1,153,088.09 | 1,153,083.34 |
| | 2 | 1,153,083 | 1,153,082.85 | 1,153,083.06 |
| | 3 | | 1,153,088.09 | |

Table-7-8. 本研究의 3phases 알고리즘에 의한 7부材 트러스의 計算結果値

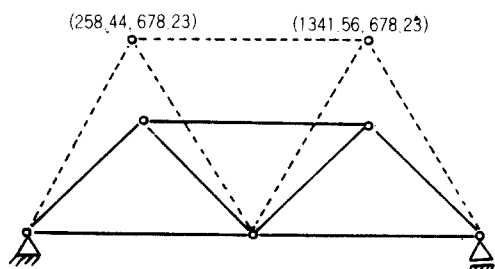
| Phases | Level 1 | | | | Level 2 | | | | Level 3 | | | | Level 2 | | | | Phase 4 | | | | | |
|----------------------------|-------------|--------|--------|--------|--------------|--------|--------|--------|--------------|------------|--------|--------|--------------|-----|-----|-----|---------|------|--------------|--------------|--------------|--------------|
| | 1 | 2 | 3 | 4 | Phase 1 | | | | Phase 2 | | | | Phase 3 | | | | Phase 4 | | | | | |
| 部 反 復 回 數 材 | 初 期 值 | 800. | 800 | 800 | 2,185,096.50 | 800 | 800 | 800 | 2,185,096.50 | 800 | 800 | 800 | 2,185,096.50 | 400 | 400 | 400 | 400 | 目的函數 | 目的函數 | 目的函數 | 目的函數 | |
| 形狀・固定 원 | 353.55 | 349.99 | 247.78 | 249.99 | 819,999.85 | 249.99 | 247.48 | 353.55 | 249.99 | 739,991.54 | 400 | 400 | 400 | 400 | 400 | 400 | 400 | 400 | 3,730,193.00 | 1,359,999.28 | 1,153,088.09 | 1,153,082.75 |
| 1 回 | 267.67 | 207.00 | 224.14 | 95.65 | 688,585.42 | 95.65 | 224.14 | 267.67 | 95.65 | 541,022.68 | 258.76 | 676.29 | 1341.24 | 400 | 400 | 400 | 400 | 400 | 1,359,999.28 | 1,153,088.09 | 1,153,082.75 | 1,153,083.34 |
| 2 回 | 267.58 | 206.43 | 223.88 | 95.40 | 688,258.57 | 95.40 | 223.88 | 267.58 | 95.40 | 541,144.31 | 258.82 | 678.18 | 1341.18 | 400 | 400 | 400 | 400 | 400 | 1,359,999.28 | 1,153,088.09 | 1,153,082.75 | 1,153,083.34 |
| 3 回 | 267.67 | 207.00 | 224.14 | 95.65 | 688,585.42 | 95.65 | 224.14 | 267.67 | 95.65 | 541,022.68 | 258.76 | 676.29 | 1341.24 | 400 | 400 | 400 | 400 | 400 | 1,359,999.28 | 1,153,088.09 | 1,153,082.75 | 1,153,083.34 |

Table-7-9. 本研究의 4phases 알고리즘에 의한 7부木材 計算結果値

| Phases | Level 1 | | | | Level 2 | | | | Level 3 | | | | Level 2 | | | | Phase 4 | | | | Phase 4 | | | |
|----------------------------|-------------|--------|--------|-------------|------------|-------|--------|-------------|---------|------------|--------|-------------|---------|--------|--------|--------|---------|--------|---------|--------|---------|--------|--------------|--------------|
| | 1 | 2 | 3 | 4 | Phase 1 | | | | Phase 2 | | | | Phase 3 | | | | Phase 4 | | | | Phase 4 | | | |
| 部 反 復 回 數 材 | 初 期 值 | 800. | 800 | 2,185,096.5 | 800 | 800 | 800 | 2,185,096.5 | 800 | 800 | 800 | 2,185,096.5 | 400 | 400 | 400 | 400 | 400 | 400 | 400 | 400 | 400 | 400 | 400 | 目的函數 |
| 形狀・固定 원 | 353.55 | 349.99 | 247.48 | 250 | 820,000.02 | 250 | 247.48 | 353.55 | 249.99 | 739,999.99 | 9004 | 400 | 400 | 400 | 400 | 400 | 400 | 400 | 400 | 400 | 400 | 400 | 400 | 3,730,193.00 |
| 1 回 | 267.58 | 206.38 | 223.87 | 95.38 | 688,235.15 | 95.38 | 223.87 | 267.58 | 95.38 | 541,152.28 | 258.82 | 400 | 1341.18 | 400 | 258.82 | 678.32 | 1341.18 | 678.32 | 1341.18 | 678.32 | 1341.18 | 678.32 | 1,359,999.88 | |
| 2 回 | 267.58 | 206.38 | 223.87 | 95.38 | 688,235.16 | 95.38 | 223.87 | 267.58 | 95.38 | 541,151.99 | 258.82 | 678.32 | 1341.18 | 678.32 | 258.82 | 678.32 | 1341.18 | 678.32 | 1341.18 | 678.32 | 1341.18 | 678.32 | 1,153,083.34 | |



(a) 文獻^[21]의 構造模型



(b) 本研究의 最適形狀

Fig. 7-4. 文獻^[21]의 構造形狀 및 本研究의 最適形狀

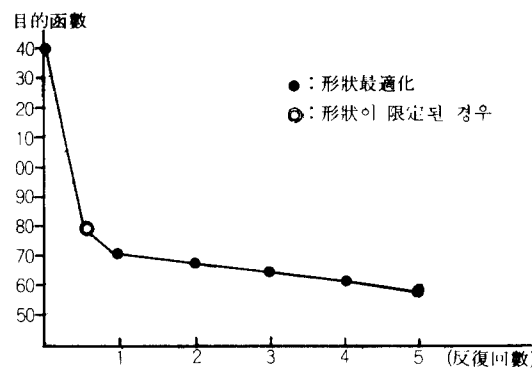


Fig. 7-6. 反復回數에 따른 目的函數

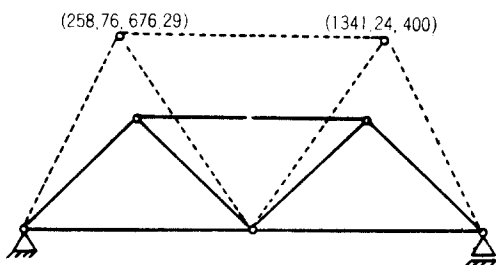


Fig. 7-7. 本研究의 最適形狀

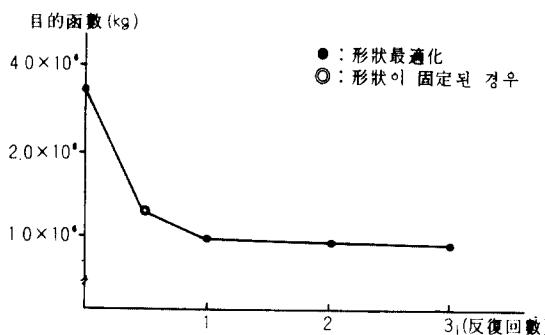


Fig. 7-5. 反復試行에 따른 目的函數 (Case 1)

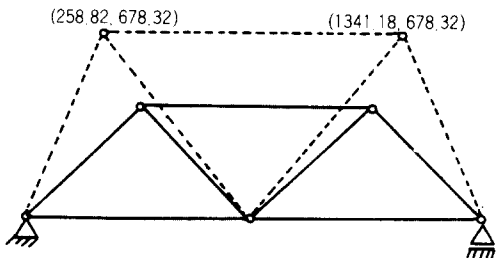


Fig. 7-8. 文獻^[21]의 研究結果

Table-7-10. 18部材 트러스의 設計條件

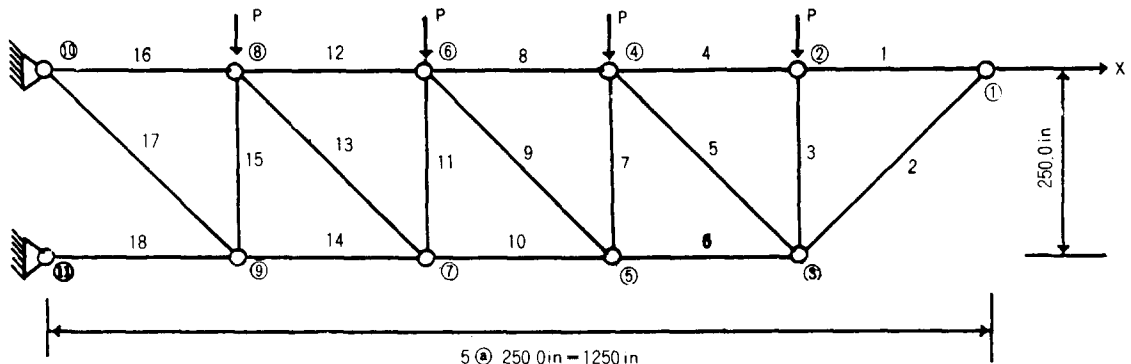
| 載荷條件 | 載荷條件의 種類 第一載荷條件 (1b) | 節點 | X方向 荷重 | Y方向 荷重 |
|----------------------------|--|----|--------------------------------|---------|
| | | 1 | | -20,000 |
| | | 2 | | -20,000 |
| | | 4 | | -20,000 |
| | | 5 | | -20,000 |
| | | 8 | | -20,000 |
| 應力制約 (Psi) | | | -20,000 ≤ σ_a ≤ 20,000 | |
| 挫屈應力 (Psi) | $\sigma_{tb} = -K_t \frac{A_t}{L_t^2}$ | | $K_t = 0.4 \times 10^{-3}$ Psi | |
| 彈性係數 (Psi) | | | 0.1×10^6 | |
| 單位重量 (lb/in ³) | | | 0.1 | |

Table- 7-11. 文獻¹⁴⁾의 構造模型에 適用 알고리즘

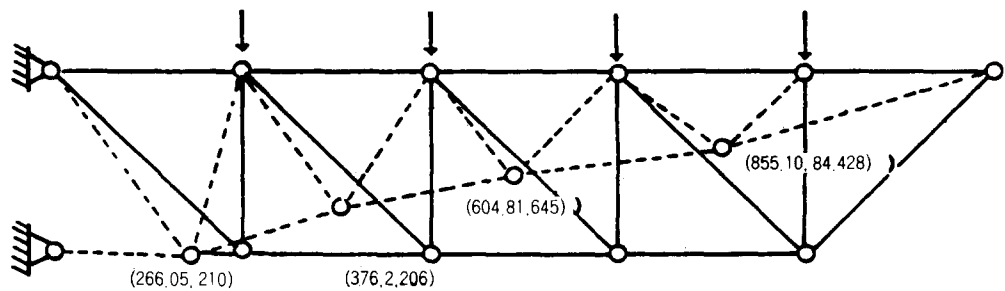
| 構造形態 18部材 트러스 | 文獻 ¹⁴⁾ 의 研究 近似技法 | 本研究 | |
|------------------|--------------------------------|----------|---------|
| | | Level 1 | Level 2 |
| | | Phase 1 | Phase 2 |
| | | Modified | Phase 3 |
| Newton Raphson | Powell | | |

Table- 7-12. 文獻¹⁴⁾의 研究 및 本研究結果

| 制約條件 | 反復回數 | 文獻 ¹⁴⁾ 의 研究結果 | 本研究의 結果 |
|--------------------------|------------|--------------------------|-----------|
| 單一載荷條件 許容應力 및 挫屈應力 | 初期值 | | 5.621.318 |
| | 形狀이 固定된 경우 | 6.430 | 5.180.37 |
| | 1 | 4.667.9 | 5.064.53 |
| | 2 | | 5.064.53 |
| | 3 | | 5.064.53 |



(a) 文獻¹⁴⁾의 構造模型



(b) 本研究의 最適形狀

Fig. 7-9. 文獻¹⁴⁾의 構造模型 및 本研究의 最適形狀

Table-7-13. 本研究의 3phases 알고리즘에 의한 18부材 트러스의 計算結果值

| Level | Phases | Phase 1 | | | | | | Phase 2 | | | | | | Phase 3 | | | | | | | |
|-----------------|--------|-------------|------------------|------------------|---------------------|---------------------|---------------------|---------------------|---------------------|---------------------|---------------------|--------------------|---------------------|---------------------|--------------------|---------------------|---------------------|------------------|-------------|-------------|----------|
| | | 杆 形 素 | A_1 $= A_4$ | A_2 $= A_6$ | A_3 $= A_{10}$ | A_4 $= A_{14}$ | A_5 $= A_{15}$ | A_6 $= A_{16}$ | A_7 $= A_{11}$ | A_8 $= A_{15}$ | A_9 $= A_{17}$ | 目的函數 $= A_{11}$ | A_3 $= A_{15}$ | A_4 $= A_{17}$ | 目的函數 $= A_{11}$ | A_5 $= A_{15}$ | A_6 $= A_{17}$ | 節 點 座 標 | 點 座 標 | 點 座 標 | |
| 初期值 | 10 | 10 | 2.810.659 | 10 | 10 | 7.07 | 2.775.023 | 1.000 | 250 | 750 | 250 | 1.000 | 250 | 500 | 250 | 250 | 250 | 250 | 250 | 5.621.318 | |
| 形狀의 面積 인 3가지 | 9.999 | 15.0 | 2.405.348 | 10 | 10 | 4.43 | 2.563.32 | 12.15 | 2.563.32 | 12.15 | 4.43 | 2.563.32 | 12.15 | 84.428 | 604.81 | 145.0 | 376.2 | 206.0 | 266.05 | 210.0 | 5.180.37 |
| 1回 | 11.521 | 17.938 | 2.563.32 | 12.15 | 12.15 | 4.43 | 2.563.32 | 12.15 | 2.563.32 | 12.15 | 4.43 | 2.563.32 | 12.15 | 855.10 | 604.81 | 145.0 | 367.2 | 206.0 | 266.05 | 210.0 | 5.064.53 |
| 2回 | 11.521 | 17.938 | 2.563.32 | 12.15 | 12.15 | 4.43 | 2.563.32 | 12.15 | 2.563.32 | 12.15 | 4.43 | 2.563.32 | 12.15 | 855.10 | 604.81 | 145.0 | 376.2 | 206.0 | 266.05 | 210.0 | 5.064.53 |
| 3回 | 11.521 | 17.938 | 2.563.32 | 12.15 | 12.15 | 4.43 | 2.563.32 | 12.15 | 2.563.32 | 12.15 | 4.43 | 2.563.32 | 12.15 | 855.10 | 604.81 | 145.0 | 376.2 | 206.0 | 266.05 | 210.0 | 5.064.53 |

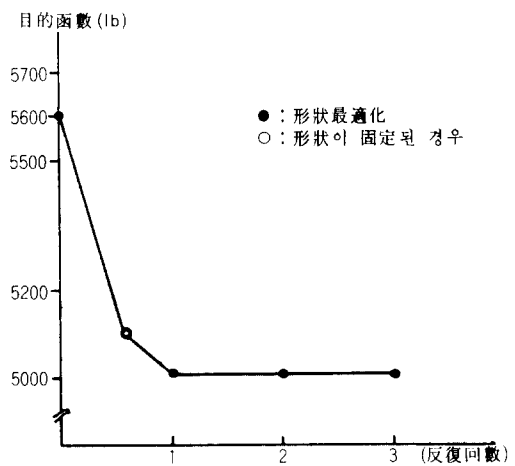


Fig. 7-10. 反復試行에 따른 目的函數

7-5. 數值計算結果의 比較分析

分割最適화技法에 依한 本研究의 알고리즘을
實際의 構造物에 適用하여 얻어진 結果를 바탕으로
본 알고리즘의 適用性과 收斂性을 分析하면
다음과 같다.

(1) 本研究에서 提案하는 Level 1에서 two-phases의 Modified Newton-Raphson Method에 依한 SUMT法, Level 2에서의 Powell Method의
一方向探査法에 依해 目的函數만이 最小가 되도록 하는 技法으로 構成된 本研究의 알고리즘을
利用하여 各種 트러스의 形狀最適化에 適用하여
본 結果 트러스의 形態, 載荷條件, 制約 條件의
變化에 구애됨이 없이 Fig. 7-2, Fig. 7-5, Fig.
7-6, Fig. 7-10, Fig. 7-13, 및 Fig. 7-14에서 알
수 있는 바와 같이 대략 2回 以內의 反復試行으로
最適解를 구할 수 있다는 事實이 證明되었다.

(2) 4種類의 트러스에 各各의 設計條件를 附與하여 本 알고리즘으로 트러스의 形狀最適化에 適用하여 본 結果, Fig. 7-2, Fig. 7-5, Fig. 7-6,
Fig. 7-10, Fig. 7-13 및 Fig. 7-14에서 알 수 있는 바와 같이 대략 2回 以內의 反復試行으로
最適解를 빨리 收斂한다는 사실을 알았다.

(3) 數值例를 통하여 同一設計條件下에서 트러
스의 幾何學的 形態를 固定시키고 斷面만을 最適
화한 경우에는 트러스의 初期의 幾何形態와 設計
條件에 따라 다소 차이가 있겠지만, 本 數值例를
基準으로 할 때 Table-7-17과 같이 약 18.3% 정도
로 重量이 減小한다는 사실을 알 수 있으므로 트

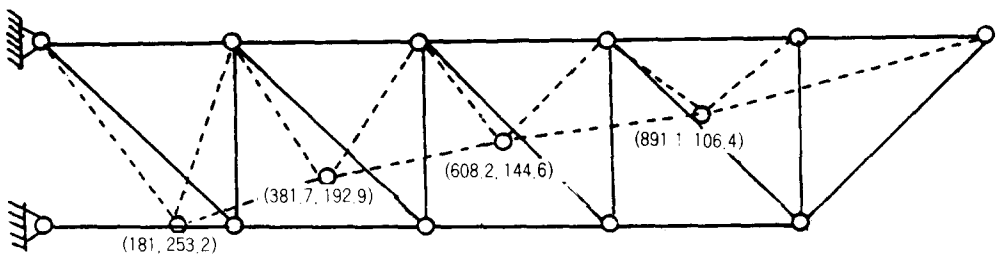
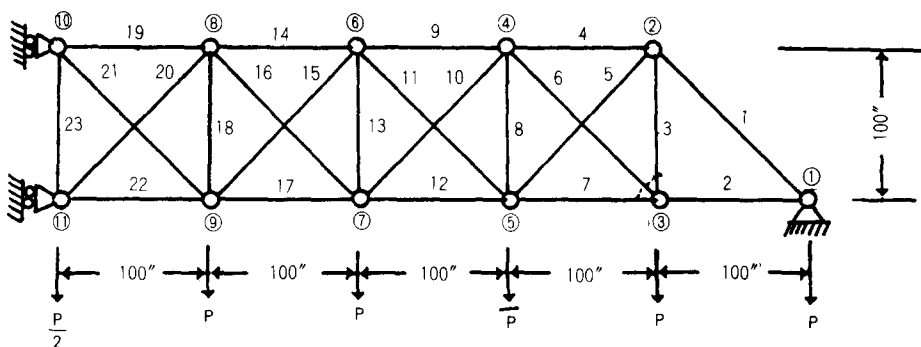


Fig. 7-11. 文獻¹⁴⁾의 研究結果

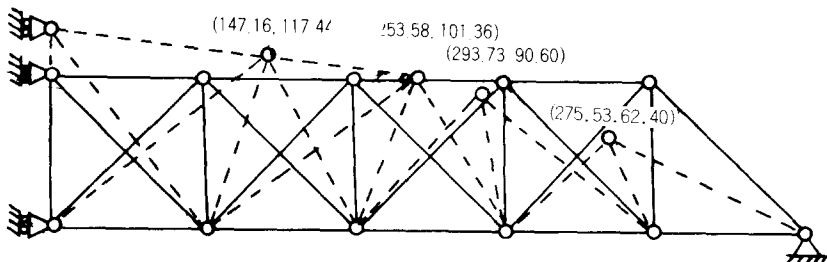
Table- 7-14. 23部材 트러스의 設計條件

| 載荷條件 | 載荷條件의 種類 | 節點 | X方向荷重 | Y方向荷重 |
|---------------------------|----------|----|-------------------------------------|---------|
| | | | | |
| 第一載荷條件(1b) | | 3 | | -20.000 |
| | | 5 | | -20.000 |
| | | 7 | | -20.000 |
| | | 9 | | -20.000 |
| | | 11 | | -10.000 |
| 應力制約(Psi) | | | $-20.000 \leq \sigma_a \leq 20.000$ | |
| 彈性係數(Psi) | | | 0.1×10^8 | |
| 單位重量(1b/in ³) | | | 0.1 | |



(a) 23部材 트러스의 構造模型

(0, 127.18)



(b) 本研究의 最適形狀

Fig. 7-12. 構造模型 및 本研究의 最適形狀

Table-7-15. 本研究의 3phases 알고리즘에 의한 23부材 트러스의 計算結果值

| 反復回數 | Level | Phases | Phase 1 | | | | | | | | | | | | Phase 2 | | | | | | | | | | | | | |
|------------|-------|--------|---------|-------|------|------|------|------|-------|------|-------|----------|----------|-----------|---------|------|------|------|------|------|----|----|----|----|----|----|-------|----|
| | | | 部材 | | | | 节点 | | | | X 的函數 | | | | Y 的函數 | | | | 部材 | | | | 节点 | | | | X 的函數 | |
| 初期值 | 15 | 15 | 15 | 15 | 15 | 15 | 15 | 15 | 15 | 15 | 1.48 | 2.05 | 0.01 | 20.485.28 | 15 | 15 | 15 | 15 | 15 | 15 | 15 | 15 | 15 | 15 | 15 | 15 | 15 | 15 |
| 形狀이 固定된 경우 | 6.36 | 4.89 | 3.88 | 5.61 | 1.57 | 3.37 | 2.50 | 1.34 | 9.05 | 1.48 | 0.01 | 4.778.17 | 0.01 | 1.06 | 1.06 | 0.27 | 1.84 | 2.54 | 0.96 | | | | | | | | | |
| 1 回 | 10.15 | 0.47 | 1.19 | 9.69 | 1.42 | 0.01 | 1.05 | 0.01 | 10.36 | 1.50 | 0.25 | 0.01 | 3.823.57 | 0.01 | 0.26 | 0.54 | 0.01 | 0.01 | 0.85 | 0.44 | | | | | | | | |
| 2 回 | 10.75 | 0.01 | 1.21 | 10.24 | 1.15 | 0.01 | 0.59 | 0.10 | 10.25 | 0.01 | 0.01 | 0.10 | 3.423.31 | 0.10 | 0.20 | 0.18 | 0.01 | 0.80 | 0.12 | 0.92 | | | | | | | | |
| 3 回 | 10.04 | 0.21 | 1.12 | 9.51 | 0.55 | 0.01 | 0.14 | 0.68 | 9.36 | 0.01 | 0.25 | 0.25 | 2.875.74 | 0.25 | 0.01 | 9.29 | 0.13 | 1.08 | 0.15 | 1.03 | | | | | | | | |

| 反復回數 | Level | Phases | Phase 1 | | | | | | | | | | | | Phase 2 | | | | | | | | | | | | | | | |
|------------|-------|--------|---------|------|------|----------|--------|-------|--------|-------|-----------|--------|--------|--------|---------|--------|--------|--------|--------|--------|--------|--------|--------|--------|--------|--------|--------|--------|--------|--------|
| | | | 部材 | | | | 节点 | | | | X 的函數 | | | | Y 的函數 | | | | 部材 | | | | 节点 | | | | X 的函數 | | | |
| 初期值 | 15 | 15 | 15 | 15 | 15 | 15 | 15 | 15 | 15 | 15 | 20.485.28 | 400 | 100 | 300 | 100 | 200 | 100 | 100 | 100 | 100 | 100 | 100 | 100 | 100 | 100 | 100 | 100 | 100 | | |
| 形狀이 固定된 경우 | 12.34 | 0.48 | 0.22 | 2.89 | 0.16 | 3.476.22 | 400 | 100 | 300 | 100 | 200 | 100 | 300 | 100 | 200 | 100 | 200 | 100 | 100 | 100 | 100 | 100 | 100 | 100 | 100 | 100 | 100 | 100 | | |
| 1 回 | 10.48 | 0.01 | 0.78 | 0.34 | 0.49 | 2.571.35 | 358.05 | 70.16 | 269.67 | 92.55 | 200.65 | 100. | 100 | 100 | 100 | 100 | 100 | 100 | 100 | 100 | 100 | 100 | 100 | 100 | 100 | 100 | 100 | 100 | | |
| 2 回 | 9.97 | 0.01 | 0.19 | 0.01 | 0.50 | 2.666.73 | 359.13 | 64.91 | 262.01 | 90.60 | 202.88 | 100.36 | 110.05 | 114.05 | 125.85 | 127.16 | 147.16 | 101.36 | 147.16 | 117.44 | 127.18 | 127.18 | 127.18 | 127.18 | 127.18 | 127.18 | 127.18 | 127.18 | 127.18 | |
| 3 回 | 8.84 | 0.01 | 0.11 | 0.01 | 0.48 | 3.033.41 | 357.53 | 62.40 | 293.73 | 90.60 | 253.58 | 101.36 | 147.16 | 117.44 | 127.18 | 127.18 | 127.18 | 127.18 | 127.18 | 127.18 | 127.18 | 127.18 | 127.18 | 127.18 | 127.18 | 127.18 | 127.18 | 127.18 | 127.18 | 127.18 |

Table-7-16. 本研究의 4phases 알고리즘에 의한 23部材 트러스의 計算結果值

| Level | | Phase 1 | | | | | | | | | | | | Phase 2 | | | | | | | | | | | | | | |
|----------|----|----------------|------|------|------|------|------|---------|------|-------|------|------|------|-----------|------|------|-------|------|------|------|------|-------|------|------|-----------|------|----------|----------|
| Phases | | Initial Values | | | | | | Phase 1 | | | | | | Phase 2 | | | | | | | | | | | | | | |
| 反復回數 | 部材 | 1 | 2 | 3 | 4 | 5 | 6 | 7 | 8 | 9 | 10 | 11 | 12 | 目的函數 | 12 | 13 | 14 | 15 | 16 | 17 | 18 | 19 | 20 | 21 | 22 | 23 | | |
| 初期值 | 15 | 15 | 15 | 15 | 15 | 15 | 15 | 15 | 15 | 15 | 15 | 15 | 15 | 20,458.28 | 15 | 15 | 15 | 15 | 15 | 15 | 15 | 15 | 15 | 15 | 20,485.28 | | | |
| 形狀○定型○경우 | 固 | 6.36 | 4.89 | 3.88 | 3.61 | 1.37 | 2.50 | 1.34 | 1.34 | 9.05 | 1.48 | 2.05 | 0.01 | 4,778.17 | 0.01 | 1.06 | 1.06 | 0.27 | 1.84 | 2.54 | 0.96 | 12.34 | 0.48 | 0.22 | 2.89 | 0.16 | 3,476.22 | |
| 1 回 | | 10.15 | 0.39 | 1.21 | 9.67 | 1.01 | 0.96 | 0.01 | 0.01 | 10.48 | 1.63 | 0.01 | 0.01 | 3,806.61 | 0.01 | 0.01 | 4.63 | 1.0 | 0.52 | 1.35 | 0.01 | 12.43 | 0.06 | 0.01 | 2.56 | 0.01 | 3,253.61 | |
| 2 回 | | 10.75 | 0.01 | 1.21 | 0.23 | 1.01 | 0.69 | 0.12 | 0. | 10.23 | 0.01 | 0.01 | 0.01 | 3,435.61 | 0.01 | 0.95 | 10.45 | 0.37 | 0.01 | 0.25 | 0.15 | 0.47 | 0.01 | 0.77 | 0.01 | 0.49 | 2.79 | 0.98 |
| 3 回 | | 10.04 | 0.01 | 1.21 | 9.51 | 0.01 | 0.42 | 0.63 | 0.63 | 9.40 | 0.11 | 0.01 | 0.01 | 2,891.25 | 0.01 | 0.01 | 9.76 | 0.12 | 0.01 | 0.50 | 0.50 | 0.82 | 9.98 | 0.01 | 0.2 | 0.77 | 0.48 | 3,033.41 |

| Level | | Phase 3 | | | | | | | | | | | | Phase 4 | | | | | | | | | | | | |
|----------|-----|----------------|-------|--------|-------|--------|--------|---------|--------|--------|--------|--------|--------|---------|--------|--------|--------|--------|----------|----------|-----|-----|-----|-----|-----|-----------|
| Phases | | Initial Values | | | | | | Phase 3 | | | | | | Phase 4 | | | | | | | | | | | | |
| 反復回數 | 部材 | 2 | 4 | 6 | 8 | X | Y | X | Y | X | Y | X | Y | X | Y | X | Y | X | Y | X | Y | X | Y | 點 | 節 | |
| 初期值 | 400 | 100 | 300 | 100 | 200 | 100 | 100 | 100 | 100 | 400 | 100 | 300 | 100 | 200 | 100 | 200 | 100 | 200 | 100 | 200 | 100 | 200 | 100 | 100 | 100 | 39,470.56 |
| 形狀○定型○경우 | 固 | 400 | 100 | 300 | 100 | 200 | 100 | 100 | 100 | 400 | 100 | 300 | 100 | 200 | 100 | 200 | 100 | 200 | 100 | 200 | 100 | 200 | 100 | 100 | 100 | 8,254.39 |
| 1 回 | | 358.05 | 70.16 | 269.67 | 92.55 | 201.05 | 100 | 100 | 100 | 358.05 | 70.16 | 269.67 | 92.51 | 201.05 | 100 | 110.05 | 114.15 | 125.85 | 6,394.92 | | | | | | | |
| 2 回 | | 359.13 | 64.91 | 262.01 | 90.60 | 228.88 | 100.36 | 110.05 | 114.15 | 125.85 | 359.13 | 64.91 | 262.01 | 90.06 | 228.88 | 100.36 | 147.16 | 117.44 | 127.18 | 6,091.04 | | | | | | |
| 3 回 | | 375.54 | 62.40 | 293.73 | 90.60 | 253.58 | 100.36 | 147.16 | 177.44 | 127.18 | 375.54 | 62.40 | 293.73 | 90.06 | 253.58 | 100.36 | 143.28 | 133.07 | 142.72 | 5,708.75 | | | | | | |

分割最適化 技法에 의한 트러스 構造物의 形狀最適화에 관한 研究

터스의 形狀最適化는 트러스構造物의 經濟的인 設計에 도움을 줄 수 있을 것으로 사료된다.

(4) 文獻²¹⁾, 文獻⁹⁾ 및 文獻¹⁴⁾와 本研究의 two-Levels 技法²⁾ 사용하여 同一構造의 最適解를 比較해본 結果 目的函數 및 最適形狀의 節點座標에 대소 차이가 있음을 Fig. 7-1, Fig. 7-4, Fig. 7-7, Fig. 7-9로부터 알 수 있다.

Table.7-17

| 構造模型 | 形狀이 固定된 경우 | 形狀最適화 의 경우 | 重量減少率 |
|---------|---------------|---------------|-------|
| 7部材트러스 | 119,999.69 | 969,948.44 | 19.2% |
| 11부材트러스 | 80.06 | 60.41 | 23.9% |
| 18부材트러스 | 5,180.37 | 5,064.53 | 9.0% |
| 23부材트러스 | 825.574 | 654.169 | 20.8% |

이는 알고리즘의 차이로 생긴 것이라고 판단된다.

(5) 實際 트러스構造物 斷面值數는 離散型이므로 實用化를 위한 構造物의 最適設計는 試圖할 경우에는 離散型計劃問題로부터 最適解를 얻어야 한다. 그러나 本研究에서는 構造物 斷面值數를 連續的으로 假定하였기 때문에豫備設計段階에서의 最適形狀을 決定하는데 利用할 수 있을 것으로 생각된다.

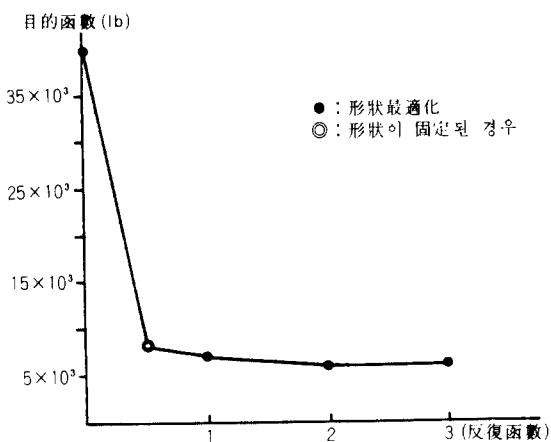


Fig. 7-13. 反復回數에 따른 目的函數

8. 結論

本研究에서 適用된 알고리즘의妥當性과 收斂性을 分析하기 위하여 여러 트러스構造模型에 適用하여 얻어진 研究結果를 要約하면 다음과 같다.

1. 形狀을 最適화함으로써 重量을 상당히 減少시킬 수 있다는 사실을 알 수 있으므로 本研究에 의한 트러스의 形狀最適화는 트러스構造物의 經濟的인 設計에 도움을 줄 수 있을 것으로思料된다.

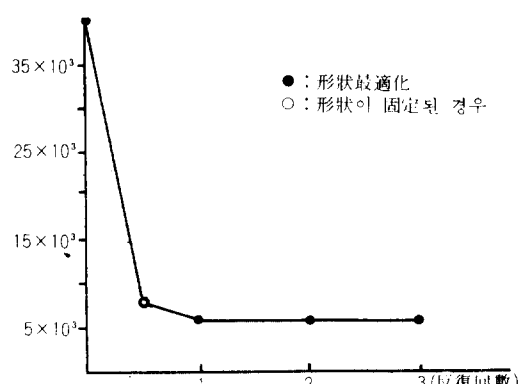


Fig. 7-14. 反復回數에 따른 目的函數

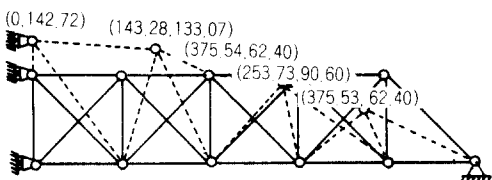


Fig. 7-15. 本研究의 最適形狀

2. 他의 알고리즘과 本研究의 알고리즘을 比較分析한 結果 目的函數 및 最適形狀의 모양이 거의 비슷하였으며, 最適解를 求하는 收斂性에 있어 시도 反復試行回數만으로 볼 때 거의 같은 水準의 收斂性을 가지고 있다고思料된다.

3. 本研究에서는 Level-one에서 two-phases의 斷面最適化, Level-two에서 形狀最適化를 합으로써 大型構造物 形狀最適化에 基礎的인 도움이 될 것으로思料된다.

參 考 文 獻

1. G. B. Dantzig., "A Decomposition Principle for Linear Program," Princeton University Press, 1963.
2. Vander Plants, G. N., "Automated Design of Elastic Trusses for Optimum Geometry," Report No. 15, School of Engineering, Case Western Reserve Univ., June, 1971.
3. Uri Kirsch., "Optimum Structural Design," McGraw-Hill Company, 1968.
4. Lucien A. Schmit, Thom P. Kicher., "Synthesis of Material and Configuration Selection," *Journal of Structural Division, ASCE*, Proc. Vol. 88, No. ST3. June 1962, pp.79~102.
5. William S. Dorn, Ralph E. Gomory., Greenberg, H. J., "Automatic Design of Optimal Structures", *Journat de Mecanique*. Vol. 3, No. 1 Mars, 1964, pp.25~52.
6. Dobbs, M. W., Felton, L. P., "Optimization of Truss Geometry", *Journal of Structural Division, ASCE*, Proc. Vol. 95, No. ST10 Oct. 1969, pp.2105~2117.
7. Pedersen, P., "On the Optimal Layout of Multi-Purpose Trusses", *Computers and Structures*, Vol. 2, 1972.
8. Pedersen, P., "Optimal Joint Positions for Space Trusses", *Journal of the Structural Division, ASCE*, Proc. Vol. 99, ST12, 1973, pp.2459~2476.
9. Vander plants G. N., and Moses, F., "Automated Design of Trusses for Optimum Geometry", *Journal of the Structural Division, ASCE*. Vol. 98, ST3, Proc. Paper 8795, Mar., 1972, pp. 671~690.
10. Spillers, W. R., "Iterative Design for Optimal Geometry", *Journal of the Structural Division, ASCE*, Vol. 101, No. ST7, Proc. Paper 11439, July, 1975, pp.1435~1442.
11. Friedland, L. R., "Geometric Structural Behavior", Thesis Presented to Columbia University, at New York, N. Y., in 1971 in Partial fulfillment of the requirements for the degree of Doctor of Philosophy.
12. Spillers, W. R., and George E. Kountouris., "Geometric Optimization Using Simple Code Representation", *Journal of Structural Division, ASCE*, Vol. 106, No. ST5, Proc. Paper 15396, May, 1980, pp.959~971.
13. Saka, M. P., "Shape Optimization of Trusses", *Journal of the Structural Division, ASCE*, Vol. 106, No. ST5 Proc. Paper 15437 May 1980, pp. 1155~1173.
14. Kanji Imai., and Schmit, F., "Configuration Optimization of Trusses", *Journal of Structural Division, ASCE*, Proc. Vol. 107, No. ST5, May, 1981, pp.745~756.
15. Topping, B. H., "Shape Optimization on Skel. etal Structures : A review", *Journal of the structural Division, ASCE* Vol. 109, No. 8, Proc. Paper 18187 August, 1983, pp.1933 ~1951.
16. U. Kirsch and G. Toledano., "Approximate Reanalysis for Modifications of Structural Geometry", *Journal of Computers and Structures*, Vol. 16, No. 1~4, 1983, pp.269~277.
17. C. Fleury and L. A. Schmit", Primal and Dual Methods in Structural Optimization", *Journal of the Structural Division, ASCE*, Vol. 106, No. ST5, May., 1980, pp.1117~1133.
18. U. Kirsch, "Optimal Design of Trusses by Approximate Compatibility", *Journal of Computers and Structures*, Vol. 12, 1980, pp. 93~98.
19. U. Kirsch., "An Improved Multilevel Structural synthesis Method", *Journal of Structural synthesis Method*, *Journal of Structural Mechanics*, 13(2), 1985, pp. 123~144.
20. A. J. Morris, "Foundation of Structural optimization : a Unified Approach", John Wiley & Sons,Ltd. 1982.
21. 이규원 : "평면트리스구조물의 형상 최적화에 관한 연구", 연세대학교 대학원, 1980.
22. 金成完, 李奎遠, "平面 트러스 構造物의 形狀 最適化", 大韓土木學會 論文集, 第 6 卷, 第 2 號, 1986. 6.